



スキーの回転機構の実験的研究 サイド・カットの効果

佐橋 稔雄 市野 聖治

日本スキー学会誌 第10巻 第1号別刷 2000年7月

スキーの回転機構の実験的研究

サイド・カットの効果

佐橋稔雄(大同工業大学電気工学科) 市野聖治(愛知教育大学体育教室)

Experimental Study of the Mechanism of Skiing Turns.

Effects of a Side-Cut on Ski Turns

Toshio Sahashi (Daido Institute of Technology)

Shoji Ichino (Aichi University of Education)

抄録

サイド・カット(カーブ)がスキーの回転に与える影響を調べる為に,模型スキーを用いて,滑降実験が行われた。サイド・カットの形は直線型,糸巻型,樽型であり,これらのスキーは,柔らかい砂面上を滑降した。その時,砂の厚さを変えて実験をした。砂の厚さが大きく,スキーの滑降の跡が砂面上に残る時は,サイド・カットの効果は小さかった。砂の厚さが極端に小さく,スキーのエッジの部分のみの跡が砂面上にわずかに残る時に,サイド・カットの効果は大きく現われた。厚さが極端に小さい砂面はアイス・バーンに似た硬い雪面に相当すると考えられる。砂面上にスキーを角付けすると,砂面は角付けの形に変形する。砂面の変形を用いて,直線型スキーの回転機構が説明されている。

キーワード:スキー,サイド・カット,回転滑降,スキーのエッジ,角付け

§ 1. 序文

スキーヤーの雪上滑降(ブルーク・ボーゲン,シュテム・ターン,パラレル・ターン,ウェーデルン)の軌跡が,調べられ,描かれた¹⁾。これらの雪上滑降は,主に回転滑降から作られている。この様な回転滑降の機構や原因を調べる為に,模型スキーを用いて実験をしてきた。実験は柔らかい砂面上におけるスキー滑降であった。その中で,我々は「角付けと,前方部分の反り」がスキー回転の要因である事を見つけた²⁾。この角付け角は,「スキーと砂面との間の角 β 」ではなく,「スキーと水平面との間の角 β_0 」であった³⁾。即ち $\beta_0=0^\circ$ の時は,直線滑降(直滑降,斜滑降及び,斜め横滑りを伴った直滑降,斜滑降)であった。 $\beta_0 \neq 0^\circ$ の時は,回転滑降であり,角 β_0 の方向へ回転をした。これを β_0 則⁴⁾とする。この β_0 則は雪上のスキーヤー・スキーにおいても実証された⁴⁾。砂(雪)面上にスキーを角付けすると言う事は,「砂(雪)面が角付けの形に変形される」と言う事を意味している。その変形された面上で β_0 則が成立していた。

他方,多くのスキーのテキスト^{5,6,7)}では,サイド・カットの効果を用いて,スキーの回転機構が説明されている。我々の実験²⁾では,サイド・カットは回転に対して殆ど効果を持たなかつた。そこで我々は,サイド・カットが回転に与える影響をもっと詳しく調べてみた。それらの結果,サイド・カットはスキー回転に影響を与える場合と,与えない場合がある事が分った。

討論では,サイド・カットのない直線型スキーの山回りの回転機構が「角付けと前方部分の反り」を用いて説明されている。

§ 2. 実験方法

2.1 スキー

模型スキーは図 1-(a)と(b)のように、塩化ビニール($19 \times 2 \times 0.08\text{cm}^3$)の板で作られた。スキーに荷重を与えない時は、スキーは平板であり(スキーにはキャンバーは無い),その先端は上に曲っていた。サイド・カットの形を変える為に,直線型(曲率半径 $r=\infty$,図 1-(b))の他に,糸巻型($r=150\text{cm}$,図 1-(c))と樽型($r=-150\text{cm}$,図 1-(d))の3種類のスキーが作られた。3種類共,中心部分の幅($w\text{cm}$)は同じ大きさである。スキーの上にはアルミの柱と鉄板があり,その上の磁石を移動させて,重心の位置が変えられた。磁石を含めたスキー全体の重さは約36gである。スキーには座標(x,y,z)が固定され,磁石を含むスキーの重心の位置は(x_0,y_0,z_0)で表されている。実験では, x_0 の値のみが変えられ,他は常に $y_0=0\text{cm}$, $z_0 \approx 1.2\text{cm}$ であった。以後,重心の位置を x_0 で表した。単位の無い数値はすべてcmである。

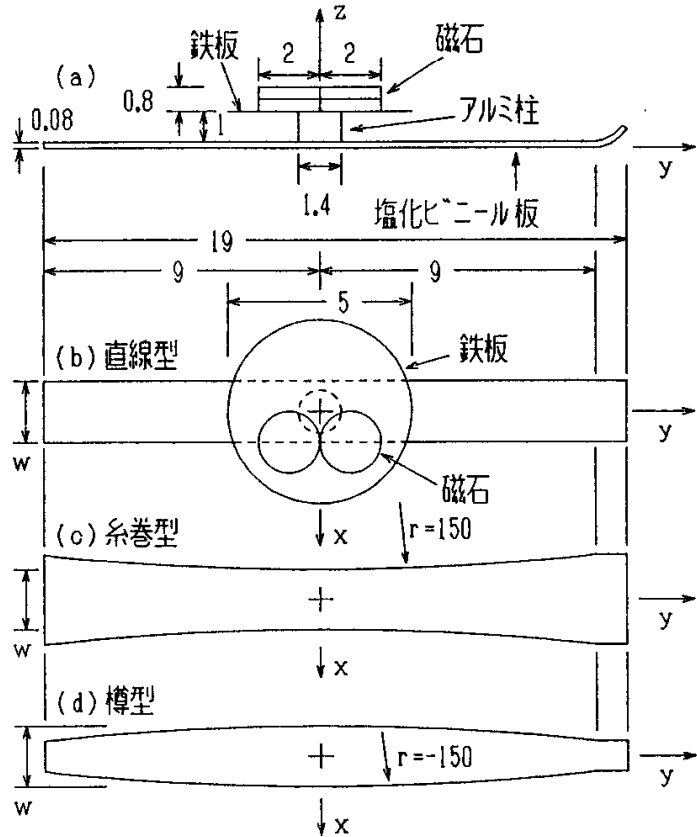


図 1. 模型スキー。(a)はスキーの横図である。
(b)は直線型スキー,(c)は糸巻型スキー,
(d)は樽型スキー,いづれもスキーの上図である。

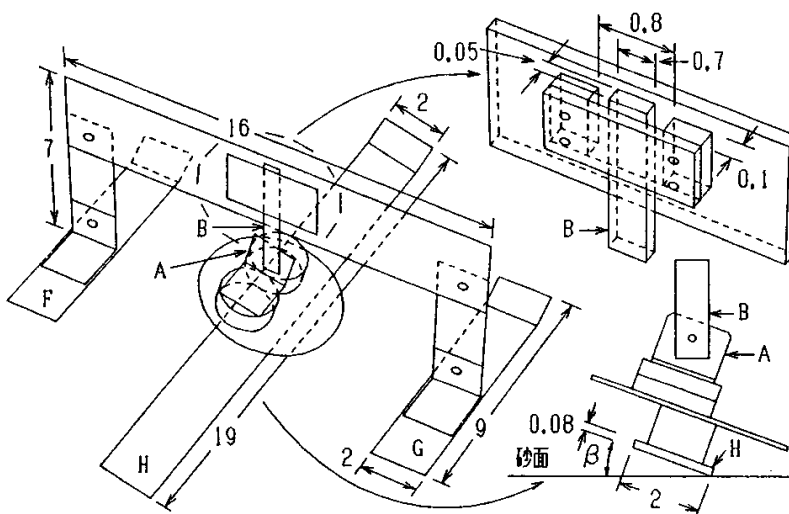


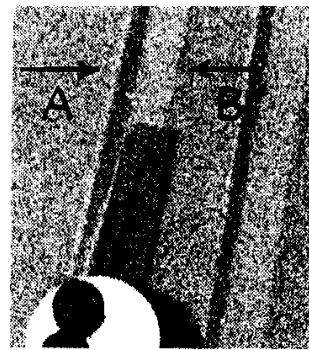
図 2. やぐら型スキー。
F と G は補助スキーで,角付けはない。
H は主スキーで,角付け角 β がある。

2.2 やぐら型スキー

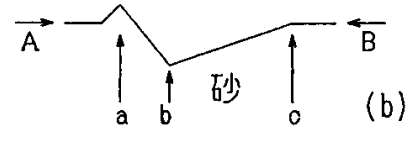
滑降中,角付け角 β を一定にする為に幾つかの実験では,図 2 のやぐら型スキーを用いた²⁾。それは砂面に平行な2つの補助スキー(FとG)を持っている。アルミ片BはAに固定され,Bは砂面に常に垂直方向に向く様に,やぐらで支えられている。Bは垂直方向に自由に動く事が出来るので,中央の主スキーH(直線型,糸巻型,又は樽型)の角付け角 β は滑降中常に一定の値に保たれた。主スキーを除く,やぐらの重さは30gである。

2.3 スキー場

スキーは細かい、柔らかい砂面上(傾斜角 $\alpha=26^\circ$ 、砂の粒径 0.05cm 以下)を滑降した。この砂は $180\times80\times5\text{cm}^3$ の箱の中にあり、その深さは s cm である。この箱を斜めにした時、砂が箱の底面上を滑らない様にする為に、底面に木綿の布を張付け、その上に砂が入れられている。滑降(砂)面上に X 軸、Y 軸があり、Y 軸は最大傾斜線の方向である。



(a)



(b)

2.4 スキーの重心の軌跡

砂面上をスキーが滑降し、スキーの軌道(図 3)が作られた。図 3(a)は図 5(c)に対応している。この軌道は 3 本の線 a,b,c から出来ており、線 b がスキーの重心の軌跡として用いられた。図 4-(a)は軌跡 b の 1 例である。

前の論文³⁾では、0.25 秒間隔のスキーの連続写真からスキーの重心の軌跡が求められ、描かれた。2 つの方法で軌跡を作り、軌跡の変曲点と $\beta_0=0^\circ$ の位置を調べた。両方共、変曲点と $\beta_0=0^\circ$ の位置はほぼ同じであった。

この論文では、軌跡の線 b から曲率半径 R を求め、R の最小値を R_0 とした(図 4-(b))。以下、スキー滑降後の砂面上の跡を軌道、線 b をスキーの重心の軌跡とする。

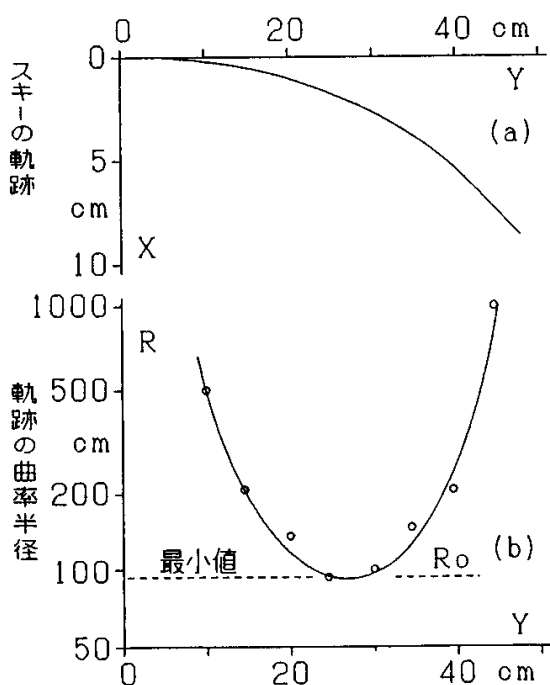


図 4. スキーの軌跡と曲率半径の一例。
砂の深さは $s=0.5\text{cm}$ 、やぐら型スキーの主スキーは樽型、幅は $w=2.25\text{cm}$ 、角付け角は $\beta=15^\circ$ である。

§ 3. 結果

3.1 重心 x_0 と曲率半径の最小値 R_0

3 種類のスキーの各々の中心の幅を $w=2.25\text{cm}$ にした。砂の深さは $s=1.4\text{cm}$ であった。スキーの重心の位置 x_0 を色々変え、最大傾斜線 FL の方向にセットし、滑降実験を行った。その結果、3 種類のスキーの滑降の仕方は微妙に異なっていたが、全てのスキーは重心の移動の方向に山回り回転をした。図 5 は樽型スキー、図 6 は糸巻型スキーの例である。これらのスキーの軌跡から R_0 を求め、それらを図 7 に示す。縦軸は R_0 であり、横軸は重心の座標 x_0 である。測定回数は 4 回である。測定値の平均値は○(糸巻型)、●(直線型)、□(樽型)であり、それらの上の直線は、測定値の範囲を示している。3 種類のスキーの x_0 は同じ値であるが、互いに重ならない様に、糸巻型は $x_0+0.1\text{cm}$ の位置に、樽型は $x_0-0.1\text{cm}$ の位置に描かれている。この図から、 x_0 が大きくなると、 R_0 は小さくなる事が分る。

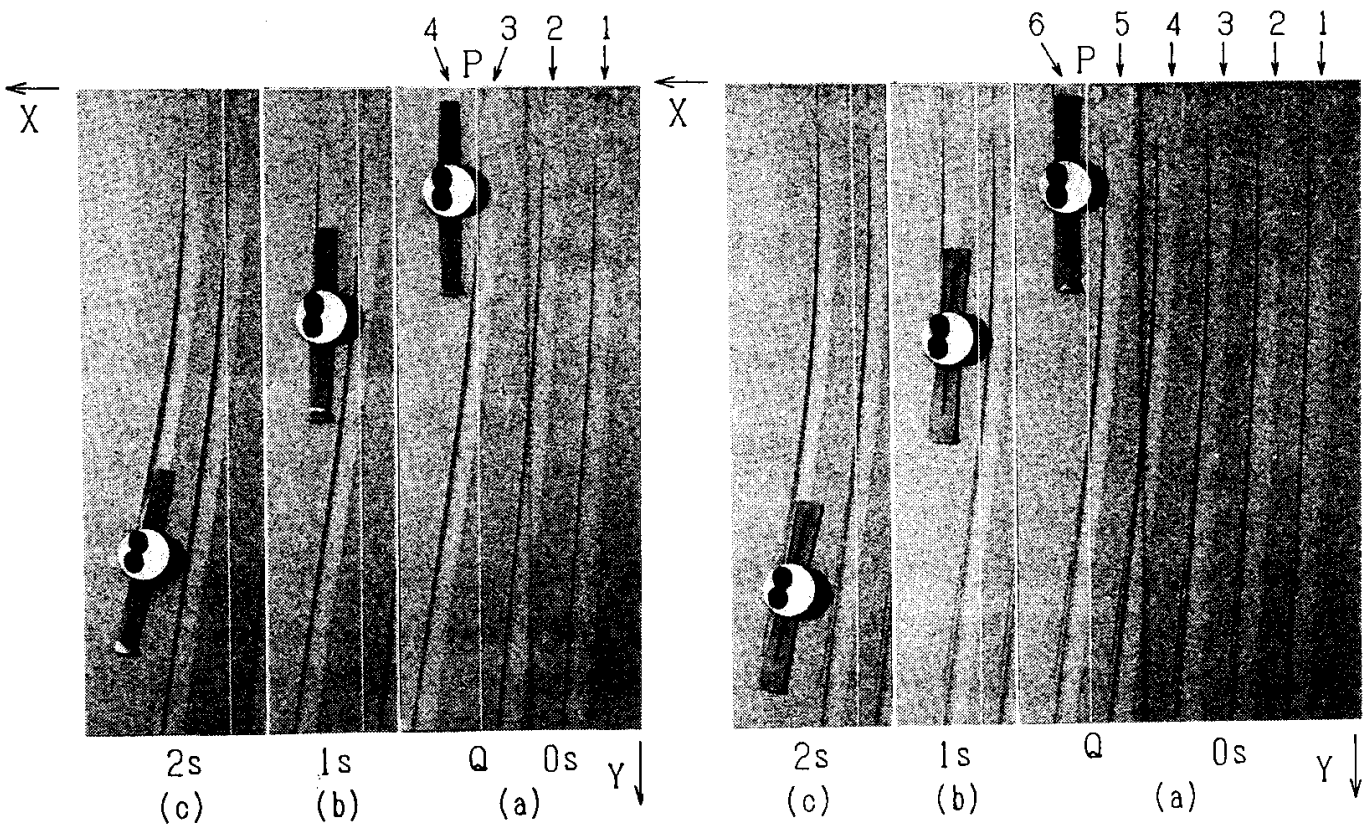


図5. 樽型スキーの山回り回転.

軌道1,2,3,4は $x_0 = 0.31\text{cm}, 0.37\text{cm}, 0.43\text{cm}, 0.46\text{cm}$.

X,Y面は砂面内にある. Y軸は最大傾斜線に沿っている. スキー幅は $w=2\text{cm}$ である. 白線P-Qは砂面上4cmに最大傾斜線に沿って張られた糸である.

図6. 糸巻型スキーの山回り回転.

軌道1,2,3,4,5,6は $x_0 = 0.19\text{cm}, 0.25\text{cm}, 0.31\text{cm}, 0.38\text{cm}, 0.44\text{cm}, 0.50\text{cm}$.

これは、「 x_0 が大きくなると,スキーは傾き易くなり,角付け角が大きくなり,その結果 R_o が小さくなる」為と思われる. 3種類のスキーの R_o は良く似ている.

以後,全ての実験で,滑降前に,スキーはFLに沿ってセットされた. 又測定回数とそのグラフの描き方も,この章のそれらと同じであった.

3.2 スキー幅 w と x_0 と R_o

スキーの幅 w を 1.5cm と 1.9cm と 2.5cm に変えて,§ 3.1と同じ滑降実験が行われた. $w=1.9\text{cm}$ の時の R_o が図7に点線で示されている. 各 w について,3種類のスキーの R_o は良く似ていた. そして,同じ x_0 なら, R_o は w と共に小さくなつた. それは、「 w が小さくなると,スキーは傾き易くなり,角付け角が大きくなり,その結果 R_o が小さくなる」事で説明される.

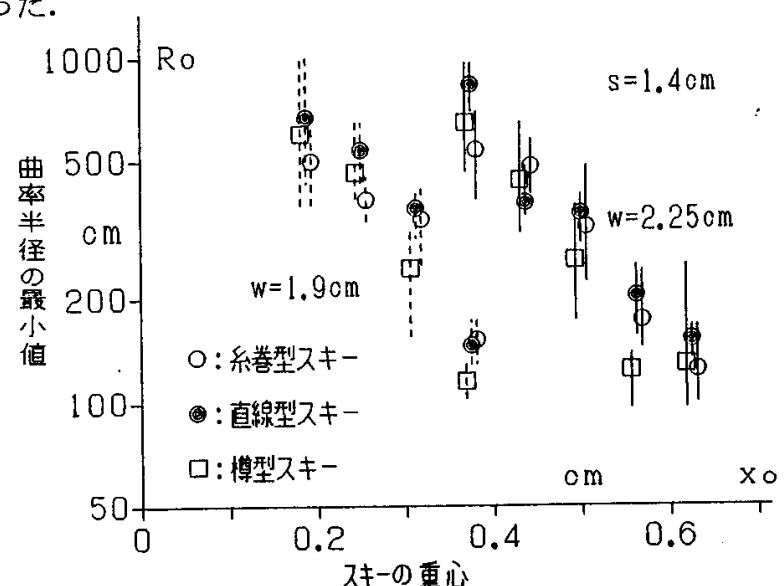


図7. 重心の位置 x_0 と曲率半径の最小値 R_o .

砂の深さは $s=1.4\text{cm}$.

スキー幅は $w=2.25\text{cm}$ と $w=1.9\text{cm}$.

3.3 砂の深さ s と x_0 と R_o

砂の深さを $s=0.5\text{cm}$ に変えて, $w=2.25\text{cm}$ のスキーの滑降実験が行われた。それらを図 8 に示す。3 種類のスキーの各々について, x_0 が大きくなると, R_o は小さくなつた。3 種類のスキーの R_o の大きさは良く似ていた。しかし, $x_0=0.5\text{cm}, w=2.25\text{cm}$ に注目すると, 図 8 の R_o は図 7 の R_o よりも大きい事が分る。これは、「砂が浅くならると, スキーが傾き難くなり, 角付け角が小さくなり, その結果 R_o が大きくなる」為と思われる。

深い砂は変形し難いので硬い雪, 深い砂は変形し易いので柔らかい雪に相当すると仮定しよう。そうすれば, § 3.3 の実験は、「柔らかい雪上では, スキーは回転し易い」という我々の経験と一致する。

3.4 s と x_0

砂の深さを $0.05\text{cm} \leq s \leq 1.4\text{cm}$ の範囲で変えて, 図 7 と同じ滑降実験を行つた。3 種類のスキーに対する結果を図 9 に示す。 $0.2\text{cm} < s$ では, 3 種類のスキーは共に角付けされた方向に山回り回転をし, 各々の R_o は良く似ていた。

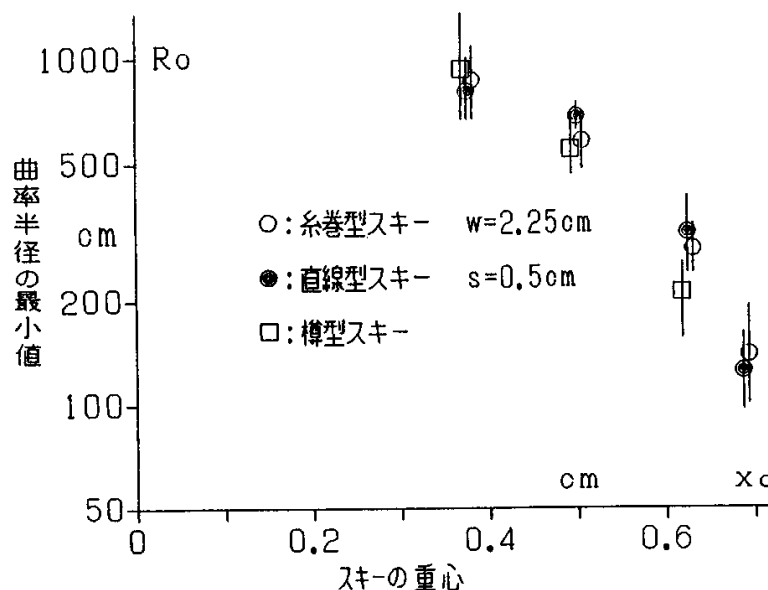


図 8. 重心の位置 x_0 と R_o . 砂の深さは $s=0.5\text{cm}$.

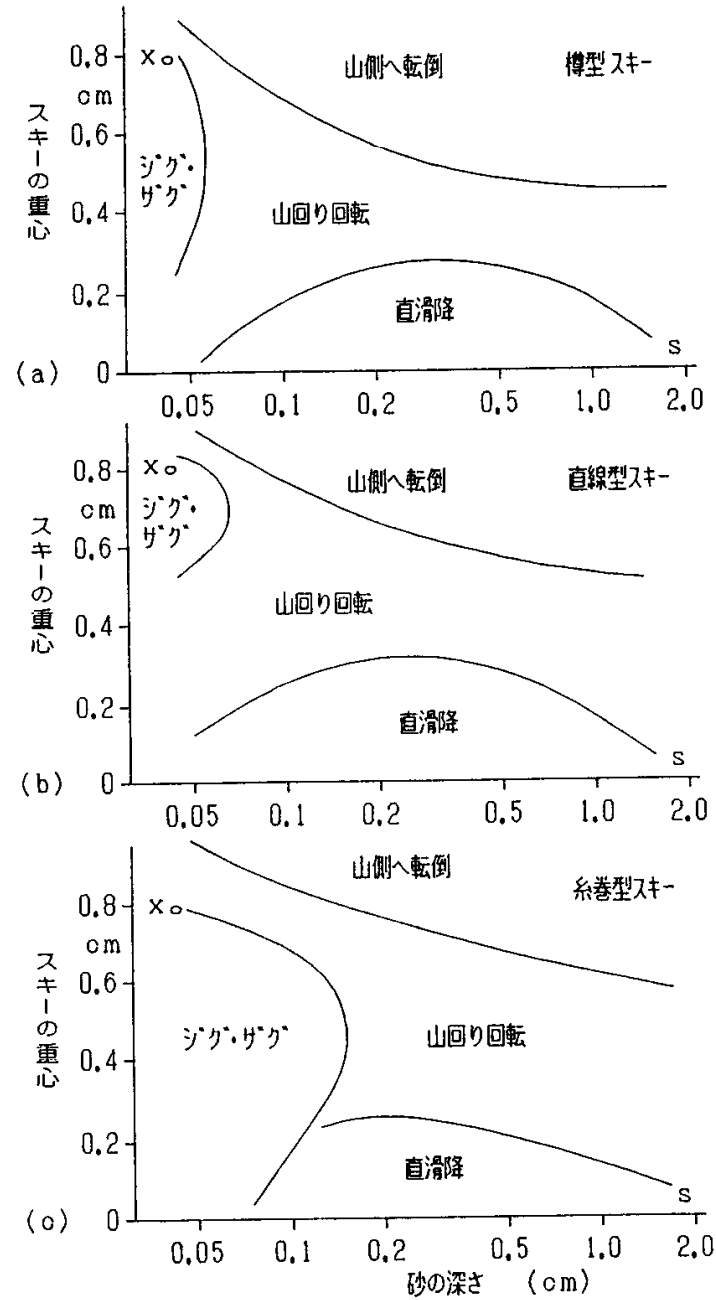


図 9. 重心の位置 x_0 と砂の深さ s .
(a) は樽型, (b) は直線型, (c) は糸巻型.

$s < 0.1\text{cm}$ では, 3 種類のスキーの R_o は各々異なつてゐた。特に, 糸巻型スキーは単調な山回り回転をしなくなつた。そこでは, 左右に蛇行をした。こうして, 3 種類のスキーの滑降の違いは砂の深さが小さい所で現われてきた。
 $s < 0.2\text{cm}$ の時, 糸巻型スキーは他のスキーに比べて直線滑降が困難であつた。 $s < 0.1\text{cm}$ では砂は殆ど無く, スキーは木綿の布の上を滑降している様であつた。

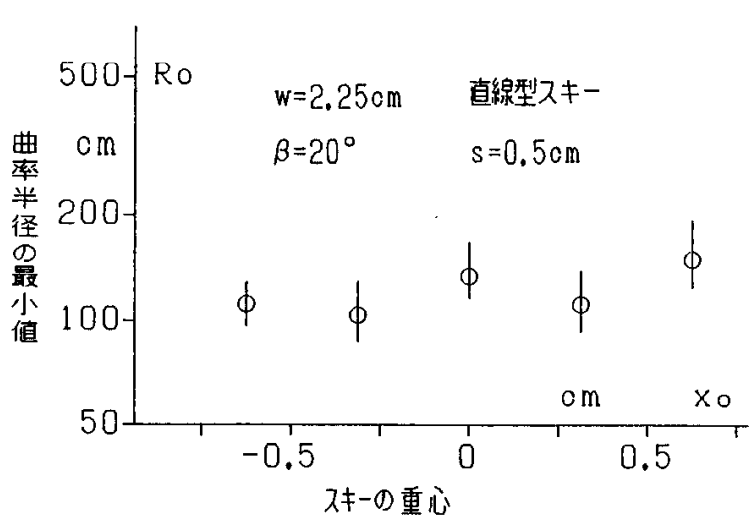


図 10. やぐら型スキーの重心の位置 x_0 と R_o .

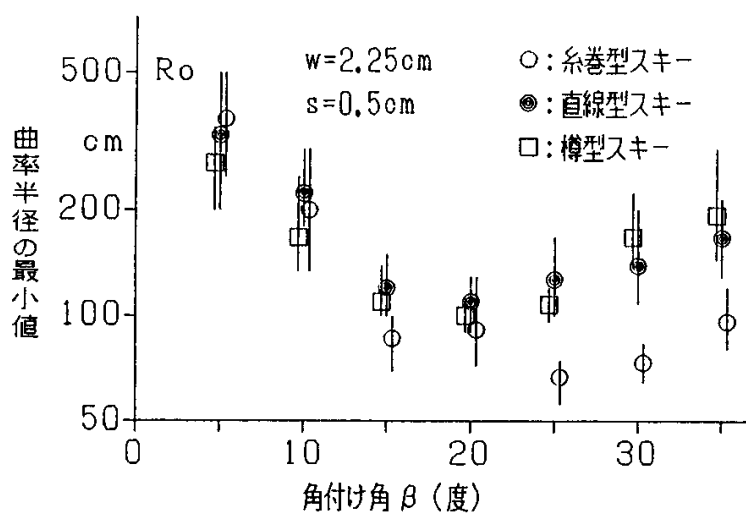


図 11. やぐら型スキーの角付け角 β と R_o .

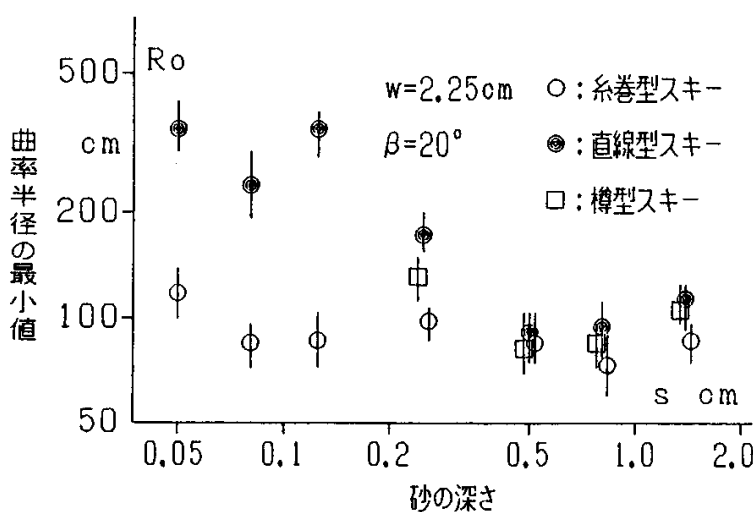


図 12. 砂の深さ s とやぐら型スキーの R_o .

3.5 やぐら型スキーの x_0

図 2 のやぐら型スキーの主スキーに直線型スキーを選び, そのスキーの角付け角を $\beta = 20^\circ$ とした. そして滑降実験を行った. スキーの幅は $w = 2.25\text{cm}$ であり, 砂の深さは $s = 0.5\text{cm}$ であった. 重心は $-0.62\text{cm} \leq x_0 \leq +0.62\text{cm}$ の範囲で変えられた. この時, スキーは角付けされた方向へ山回り回転をした. x_0 が変化しても, R_o に大きな変化はなかった(図 10). 以後やぐら型スキーの実験では重心を $x_0 = -0.31\text{cm}$ とした.

3.6 やぐら型スキーの β

やぐら型スキーに, 3種類のスキーを取り付け, 滑降実験を行った. スキーの幅は $w = 2.25\text{cm}$ であり, 砂の深さは $s = 0.5\text{cm}$ である. β の角度範囲は図 11 の様に $5^\circ \leq \beta \leq 35^\circ$ である. これらの範囲では, やぐら型スキーは, 3種類共に, 角付けされた方向へ山回り回転をした. そして, 3種類のスキーの R_o は良く似ていた. $5^\circ \leq \beta \leq 20^\circ$ では, β が大きくなると, 回転し易くなり, R_o は小さくなつた. しかし, $20^\circ \leq \beta \leq 35^\circ$ では, β が大きくなると, 回転し難くくなり, R_o は大きくなつた. この理由は討論で述べられている.

3.7 やぐら型スキーと s

砂の深さが $0.05\text{cm} \leq s \leq 1.4\text{cm}$ の範囲で変化した時, 3種類のスキーに対する R_o の変化の様子が調べられた(図 12). スキーの幅を $w = 2.25\text{cm}$ にし, やぐら型スキーを用いて, 角付け角を $\beta = 20^\circ$ にした. 図 12 の様に, 砂の深さが $0.5\text{cm} \leq s$ では, 3種類のスキーは,

いづれも角付けされた方向へ山回り回転をし, R_o は良く似ていた。しかし、砂の深さが $s \leq 0.2\text{cm}$ では、樽型スキーは蛇行をした。更に、直線型スキーの R_o は糸巻型スキーの R_o に比べて著しく大きかった。こうして、3 種類のスキーの滑降の違いが、砂の深さが $s \leq 0.2\text{cm}$ で現われた。この深さでは、砂の上に残されたスキーの軌道の幅(図 3 の b-c 間)はスキーの幅の 1/10 以下であった。

3.8 s と β

やぐら型スキーを用い、角付け角を $5^\circ \leq \beta \leq 35^\circ$ の範囲で変え、砂の深さも $0.05\text{cm} \leq s \leq 1.4\text{cm}$ の範囲で変え、図 12 と同じ滑降実験を行った。3 種類のスキーに対する結果を図 13 に示す。この図から、 $0.5\text{cm} < s$ では、3 種類のスキーは共に山回り回転をし、各々の R_o は良く似ていた。 $s < 0.2\text{cm}$ では、3 種類のスキーの R_o は各々異なっていた。特に、樽型スキーは山回り回転をせず、蛇行をした。そしてスキーの軌道の幅は小さかった。この様に 3 種類のスキーの滑降の違いは砂の深さの小さい所で現われた。

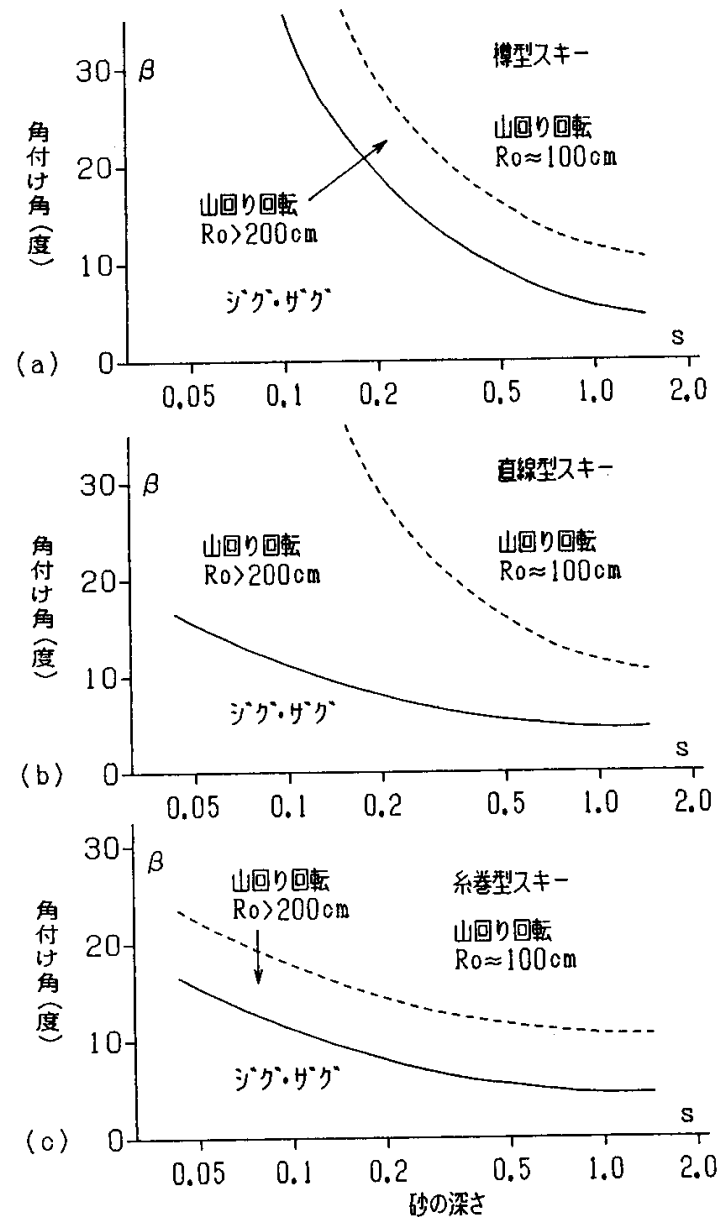


図 13. やぐら型スキーの角付け角 β と砂の深さ s 。

§ 4. 討論

4.1 サイド・カットの効果

前の実験²⁾で我々は、重心の位置 x_0 を同じにして、3 種類のスキーの回転を調べた。その結果、回転方向は同じであったが、軌跡の曲率半径は樽型、直線型、糸巻型の順に小さくなつた。つまり、糸巻型スキーが最も回転し易かつた。この時、3 種類のスキーの平均的な幅 w はほぼ同じであつた。しかし、スキーの中心の幅 w の大きさでは、樽型 > 直線型 > 糸巻型であつた。これはスキー幅が小さい時はスキーは回転し易いと言う § 3.2 の結果を用いて説明される。この論文では、スキーの中心の幅 w を同じ大きさにして、滑降状態と曲率半径を調べた(表 I)。

砂の深さが $s > 0.5\text{cm}$ では、次の様であった。やぐら無しスキー(図 7,8,9)では、3 種類のスキー滑降は似ており、曲率半径もほぼ同じであった。やぐら付きスキー(図 11,12,13)でも、3 種類の滑降は似ており、曲率半径もほぼ同じであった。即ち、回転滑降の仕方では、サイド・カットの違